

ДОДАТОК А

Текст програми

```
#define BLYNK_TEMPLATE_ID "TMPL43JnlmywK"
#define BLYNK_TEMPLATE_NAME "Home Automation"
#define BLYNK_AUTH_TOKEN "dOsi_Q6rjo4v3SPXXxY4eCSto-l-gese"

#include <AccelStepper.h>
#include <Wire.h>
#include <WiFi.h>
#include <Arduino.h>
#include <WiFiClient.h>
#include <BlynkSimpleEsp32.h>
#include "DHTesp.h"

#define BLYNK_PRINT Serial

#define TEMPERATURE_VPIN V0
#define HUMIDITY_VPIN V1
#define perform_manual_action_switch V2
#define CDIOX_VPIN V3
#define MENU_VPIN V4
#define WSPEED_VPIN V5
#define WDIRECTION_VPIN V6
#define Energy_consumption V13

char auth[] = BLYNK_AUTH_TOKEN;
char ssid[] = "Wokwi-GUEST";
char pass[] = ""
```

```
BlynkTimer timer;
```

```
DHTesp dhtSensor;
```

```
const int DHT_PIN = 14;
```

```
const int WD_PIN = 32;
```

```
const int WS_PIN = 34;
```

```
const int MQ2_ANA = 17;
```

```
const int MQ2_DIG = 15;
```

```
const int CO2_PIN = 35;
```

```
const int LUX_PIN = 23;
```

```
const int GREEN = 13;
```

```
const int BURNED = 12;
```

```
const int BLUE = 27;
```

```
const int WHITE = 26;
```

```
const int DIR_PIN = 4;
```

```
const int STEP_PIN = 25;
```

```
AccelStepper stepper(AccelStepper::FULL4WIRE, STEP_PIN, DIR_PIN);
```

```
bool manualMode = false;
```

```
bool manualControlMessageSent = false;
```

```
bool greenState = false;
```

```
bool blueState = false;
```

```
bool burnedState = false;
```

```
bool whiteState = false;
```

```
float m = 1.2041 * 750;
```

```
float To = 17;
```

```
float R = 0.12;
```

```
float C = 1.005;
```

```
int selectedMode = 0;
```

```
#define LED_COUNT 4
```

```
const int LED_PINS[LED_COUNT] = {GREEN, BURNED, BLUE, WHITE};
```

```
const char LED_VPINS[LED_COUNT] = {V11, V8, V9, V10};
```

```
enum FanSpeed
```

```
{
```

```
    TEMPUnknown,
```

```
    TEMPNeutral,
```

```
    TEMPReversse,
```

```
    TEMPDrive,
```

```
    TEMPSport
```

```
};
```

```
const int TEMPNeutralSpeed = 0;
```

```
const int TEMPReversseSpeed = 500;
```

```
const int TEMPDriveSpeed = -500;
```

```
const int TEMPSportSpeed = -10000;
```

```
class SensorData
```

```
{
```

public:

```
    struct Info
    {
        float temperature;
        float humidity;
        int wspeed;
        int wdirection;
        int tgl;
        int cdiox;
        int lux;
        int fire;
        float Ti;
    };
```

Info getSensorData()

```
{
    Info data;

    data.temperature = dhtSensor.getTemperature();
    data.humidity = dhtSensor.getHumidity();

    int16_t wspeedValue = analogRead(WS_PIN);
    int16_t wdirectionValue = analogRead(WD_PIN);
    int16_t tglValue = digitalRead(MQ2_DIG);
    int16_t cdioxValue = analogRead(CO2_PIN);
    int16_t luxValue = !digitalRead(LUX_PIN);
    data.wspeed = wspeedValue;
    data.wdirection = wdirectionValue;
    data.tgl = tglValue;
```

```
    data.cdiox = cdioxValue * 2;
    data.lux = luxValue;
    data.fire = data.lux == HIGH && data.tgl == HIGH;
    data.Ti = data.temperature;

    return data;
}
};
```

```
SensorData sensorData;
SensorData::Info data;
```

```
unsigned long previousSensorMillis = 0;
unsigned long previousConsoleMillis = 0;
unsigned long previousLedMillis = 0;
const long sensorInterval = 0.1;
const long consoleInterval = 3500;
const long LedInterval = 3500;
```

```
void sendSensorData();
void controlLEDs();
```

```
bool isInRange(int value, int lower, int upper)
{
    return (value >= lower && value <= upper);
}
```

```
BLYNK_WRITE(perform_manual_action_switch)
{
    manualMode = param.asInt();
```

```
if (manualMode)
{
  stepper.setSpeed(TEMPNeutralSpeed);
  stepper.runSpeed();
}

}

BLYNK_WRITE_DEFAULT() {
  int pin = request.pin;
  if (pin == MENU_VPIN) {
    int selectedItem = param.asInt();
    switch (selectedMenuItem) {
      case 1:
        selectedMode = TEMPNeutral;
        break;
      case 2:
        selectedMode = TEMPReversse;
        break;
      case 3:
        selectedMode = TEMPDdrive;
        break;
      case 4:
        selectedMode = TEMPSport;
        break;
      default:
        selectedMode = TEMPNeutral;
        break;
    }
  }
  if (!manualMode) {
```

```

    stepper.setSpeed(getSpeedForMode(selectedMode));
    stepper.runSpeed();
}
}
}
int getSpeedForMode(int mode)
{
    switch (mode)
    {
        case TEMPNeutral:
            return TEMPNeutralSpeed;
        case TEMPReverse:
            return TEMPReverseSpeed;
        case TEMPDrive:
            return TEMPDriveSpeed;
        case TEMPSport:
            return TEMPSportSpeed;
        default:
            return 0;
    }
}

FanSpeed determineFanSpeed()
{
    if (manualMode)
    {
        return TEMPNeutral;
    }
    if (data.fire == HIGH || data.wspeed >= 8 && isInRange(data.wdirection, 70, 110))

```

```
{
    return TEMPNeutral;
}

if (isInRange(data.temperature, 10, 17) && isInRange(data.humidity, 15, 30) &&
isInRange(data.cdiox, 600, 800))
{
    return TEMPNeutral;
}

if (data.tgl == HIGH || data.cdiox >= 1400)
{
    return TEMPReverse;
}

if (isInRange(data.temperature, 17, 30) && isInRange(data.humidity, 30, 50) &&
isInRange(data.cdiox, 800, 1000))
{
    return TEMPDrive;
}

if (isInRange(data.temperature, 30, INT_MAX) && isInRange(data.humidity, 50,
INT_MAX) && isInRange(data.cdiox, 1000, 1400))
{
    return TEMPSport;
}

return TEMPUnknown;
}
```

```

void adjustFanSpeed() {
  if (manualMode) {
    stepper.setSpeed(getSpeedForMode(selectedMode));
    stepper.runSpeed();
  } else {
    int fanSpeed = determineFanSpeed();
    switch (fanSpeed) {
      case TEMPUnknown:
        stepper.setSpeed(0);
        break;
      case TEMPNeutral:
        stepper.setSpeed(TEMPNeutralSpeed);
        break;
      case TEMPReversse:
        stepper.setSpeed(TEMPReversseSpeed);
        break;
      case TEMPDrive:
        stepper.setSpeed(TEMPDriveSpeed);
        break;
      case TEMPSport:
        stepper.setSpeed(TEMPSportSpeed);
        break;
    }
    stepper.runSpeed();
  }
}

void controlLEDs() {
  for (int i = 0; i < LED_COUNT; i++) {
    bool ledState = determineLEDState(i);

```

```

    digitalWrite(LED_PINS[i], ledState);
    Blynk.virtualWrite(LED_VPINS[i], ledState ? 255 : 0);
}
}

bool determineLEDState(int index) {
    switch (index) {
        case 0: // GREEN
            return isInRange(data.temperature, 10, 17) && isInRange(data.humidity, 15, 30)
&& isInRange(data.cdiox, 600, 800);
        case 1: // BURNED
            return data.fire == HIGH;
        case 2: // BLUE
            return data.wspeed >= 8 && isInRange(data.wdirection, 70, 110);
        case 3: // WHITE
            return determineFanSpeed() == TEMPUnknown;
        default:
            return false;
    }
}

void setup()
{
    Serial.begin(115200);
    Blynk.begin(auth, ssid, pass);

    sensorData = SensorData();

    dhtSensor.setup(DHT_PIN, DHTesp::DHT22);
}

```

```
pinMode(DIR_PIN, OUTPUT);
pinMode(STEP_PIN, OUTPUT);
digitalWrite(DIR_PIN, HIGH);
```

```
pinMode(MQ2_ANA, INPUT);
pinMode(MQ2_DIG, INPUT);
```

```
pinMode(GREEN, OUTPUT);
pinMode(LUX_PIN, INPUT);
pinMode(BURNED, OUTPUT);
pinMode(BLUE, OUTPUT);
pinMode(WHITE, OUTPUT);
```

```
stepper.setMaxSpeed(15000);
stepper.setAcceleration(500);
}
```

```
void loop()
```

```
{
```

```
  Blynk.run();
```

```
  unsigned long currentMillis = millis();
```

```
  if (currentMillis - previousSensorMillis >= sensorInterval)
```

```
  {
```

```
    previousSensorMillis = currentMillis;
```

```
    data = sensorData.getSensorData();
```

```
    adjustFanSpeed()
```

```
if (currentMillis - previousConsoleMillis >= consoleInterval)
{
    previousConsoleMillis = currentMillis;
    sendSensorData();
}
if (currentMillis - previousLedMillis >= LedInterval)
{
    previousLedMillis = currentMillis;
    controlLEDs();
}
}
}
```

String fanSpeedToString(int fanSpeed)

```
{
    switch (fanSpeed)
    {
        case TEMPNeutral:
            return "TempNeutral";
        case TEMPReverse:
            return "TempReverse";
        case TEMPDive:
            return "TempDive";

        case TEMPSport:
            return "TempSport";
        case TEMPUnknown:
            return "TempUnknown";
        default
```

```

    return "Unknown";
}
}

void sendSensorData()
{
    SensorData::Info data = sensorData.getSensorData();

    float E = m * (data.Ti - To) / (R * C);
    Serial.println("Energy consumption for air conditioning: " + String(E / 100000) +
" kW·h");
    Blynk.virtualWrite(7, "Energy consumption for air conditioning: " + String(E /
100000) + " kW·h");

    if (manualMode) {
        Serial.println("DEVICE IN MANUAL CONTROL MODE");
        Serial.print("Fan State (Manual Control): ");
        Serial.println(fanSpeedToString(selectedMode));
        Blynk.virtualWrite(7, "DEVICE IN MANUAL CONTROL MODE");
        Blynk.virtualWrite(7, "Fan State (Manual Control): " +
fanSpeedToString(selectedMode));
    } else
    {

        Serial.println("DEVICE IN AUTOMATIC CONTROL MODE");
        FanSpeed fanSpeed = determineFanSpeed();
        Serial.print("Fan State: ");
        Serial.println(fanSpeedToString(fanSpeed))
    }
}

```

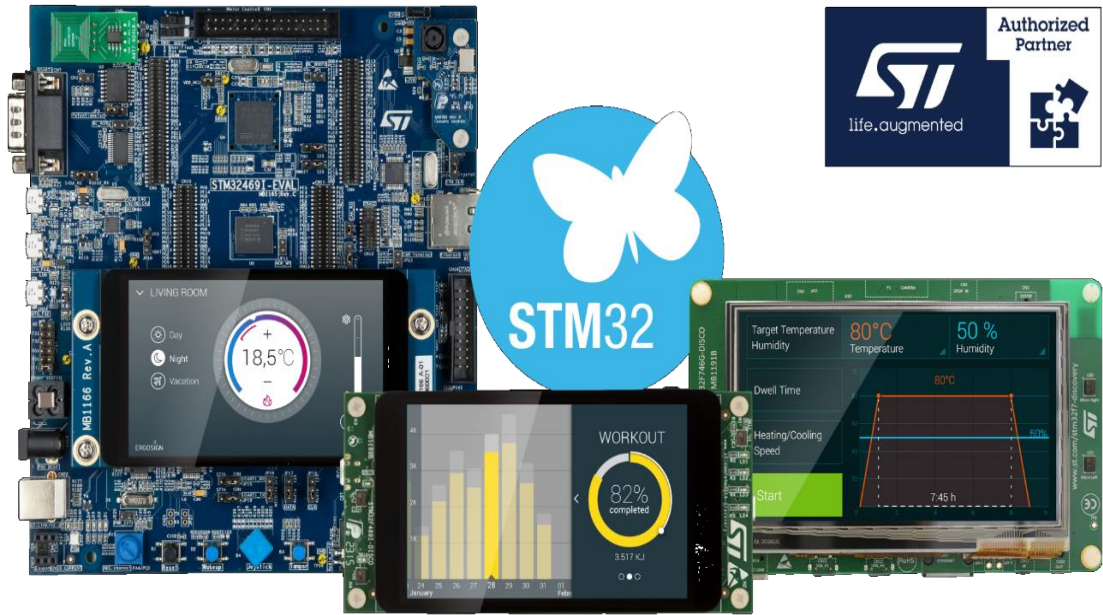
```
Blynk.virtualWrite(7, "DEVICE IN AUTOMATIC CONTROL MODE");  
Blynk.virtualWrite(7, "Fan State: " + fanSpeedToString(fanSpeed));  
}
```

```
Blynk.virtualWrite(TEMPERATURE_VPIN, data.temperature);  
Blynk.virtualWrite(HUMIDITY_VPIN, data.humidity);  
Blynk.virtualWrite(CDIOX_VPIN, data.cdiox);  
Blynk.virtualWrite(WSPEED_VPIN, data.wspeed);  
Blynk.virtualWrite(WDIRECTION_VPIN, data.wdirection);  
Blynk.virtualWrite(Energy_consumption, E / 100000);
```

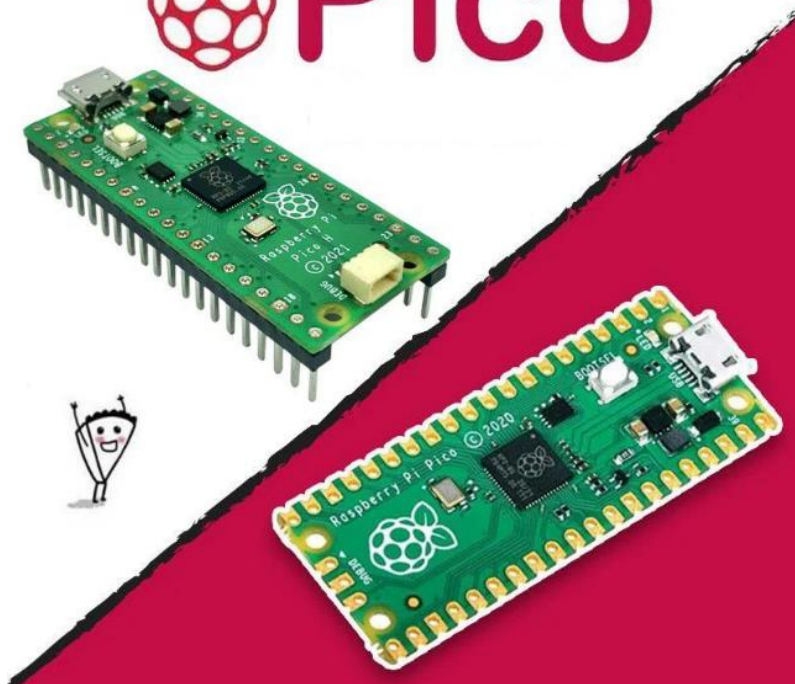
ДОДАТОК Б
ДЕМОНСТРАЦІЙНИЙ МАТЕРІАЛ

МІКРОКОНТРОЛЕРИ СЕРІЇ ARDUINO, ESP32, STM32, RASPBERRY PI



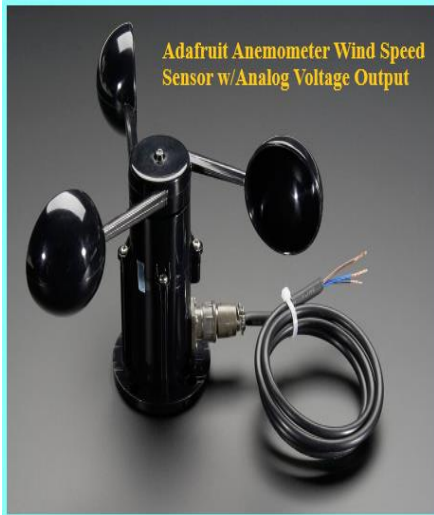


Pico



**ДАВАЧІ ВОЛОГОСТІ ТА ТЕМПЕРАТУРИ, CO₂, ДИМУ І ГАЗУ,
ШВИДКОСТІ ВІТРУ, ІНТЕНСИВНОСТІ СВІТЛА ТА КРОКОВІ
ДВИГУНИ**





Adafruit Anemometer Wind Speed Sensor w/Analog Voltage Output



DFRobot Wind Speed Sensor



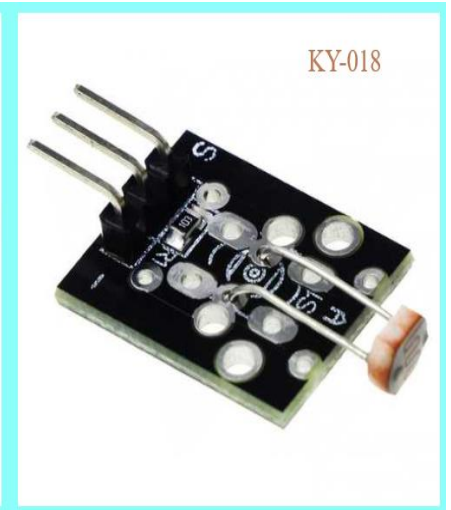
SparkFun Weather Meter Kit



SparkFun Photocell Sensor



DFRobot SEN0014



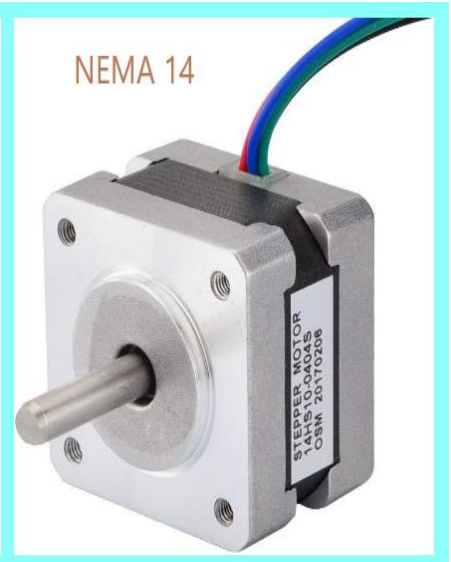
KY-018



NEMA 17

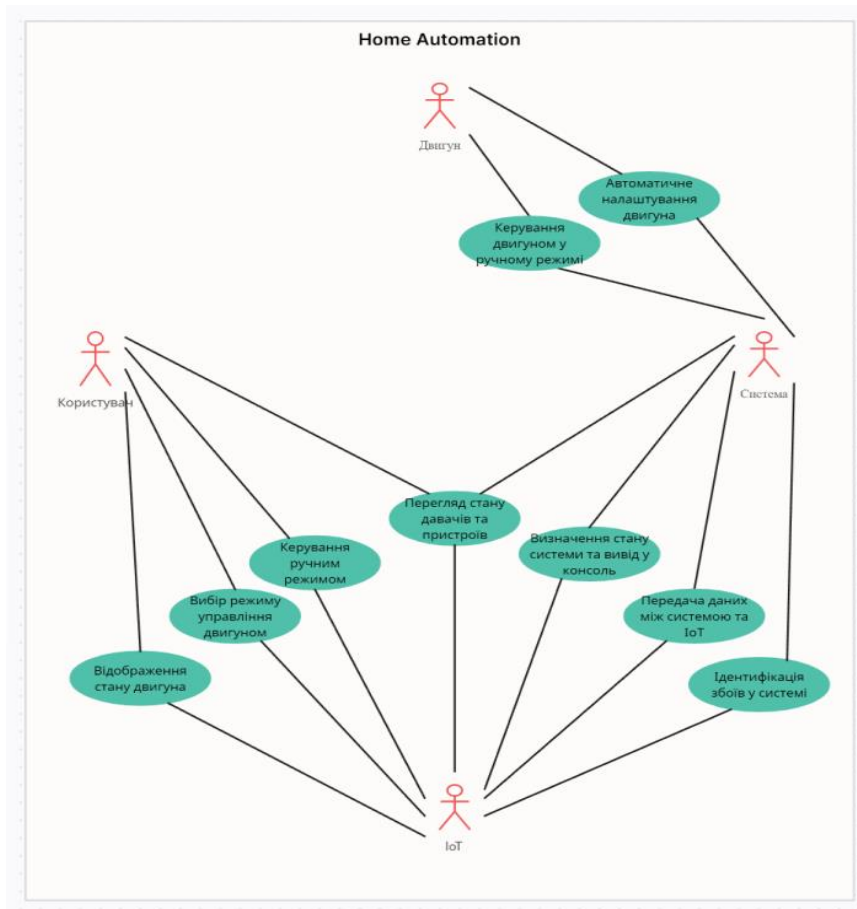


NEMA 23

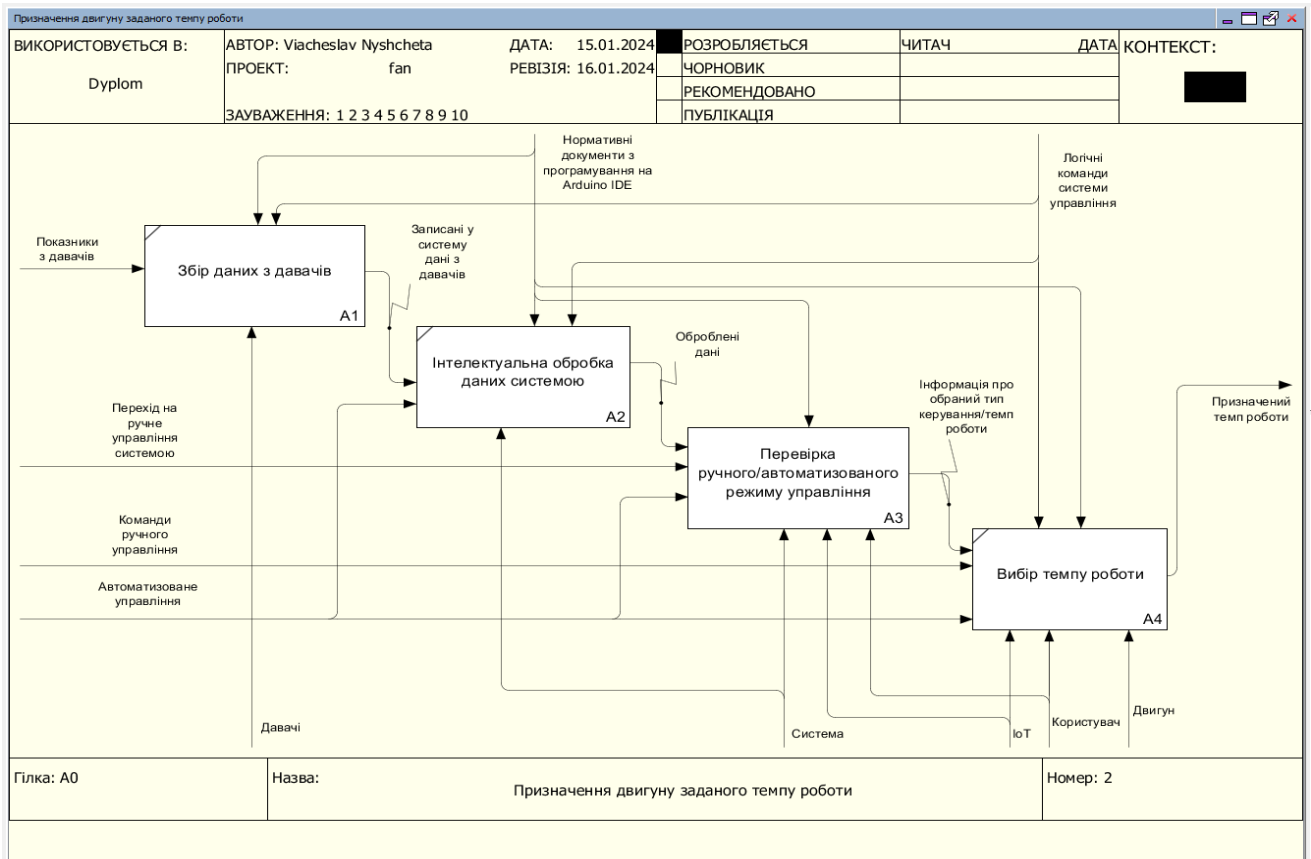
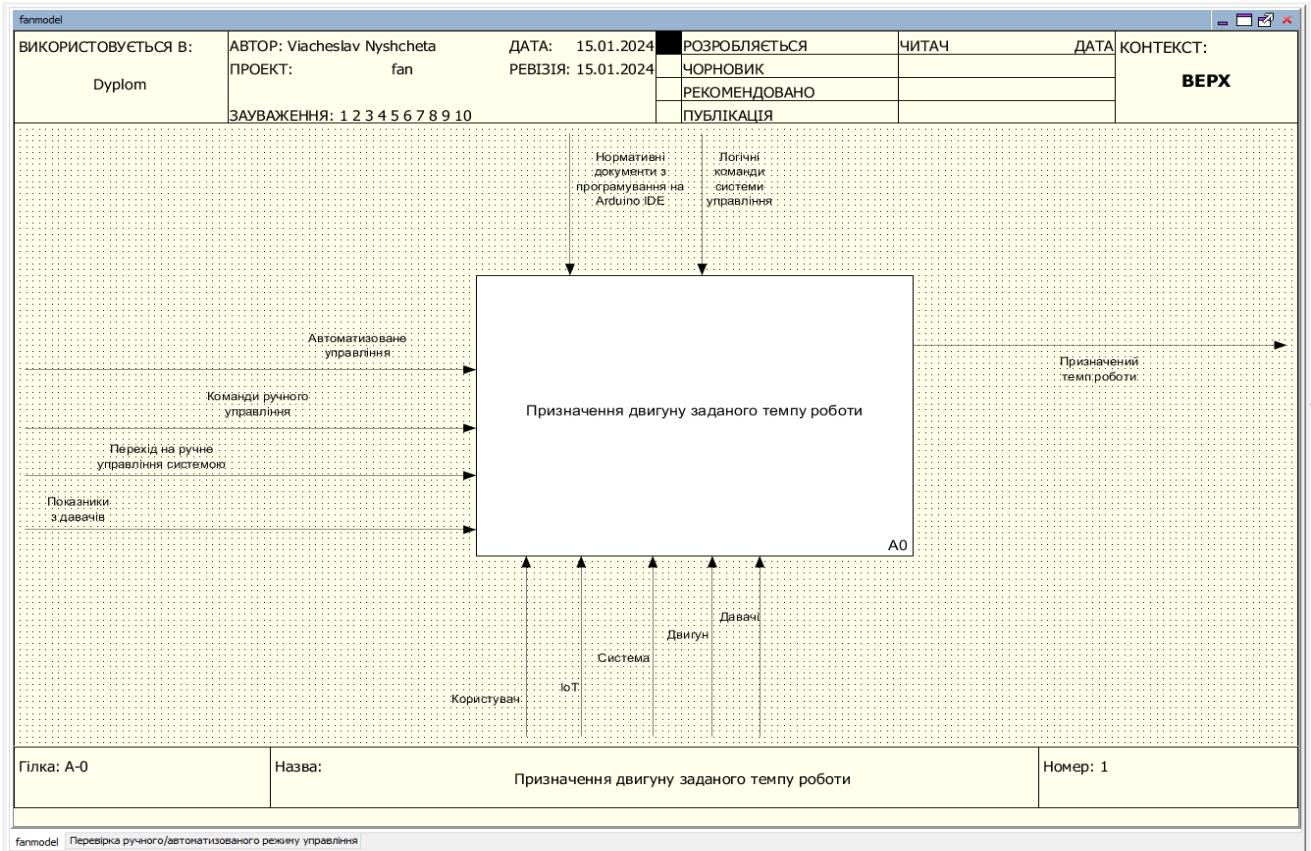


NEMA 14

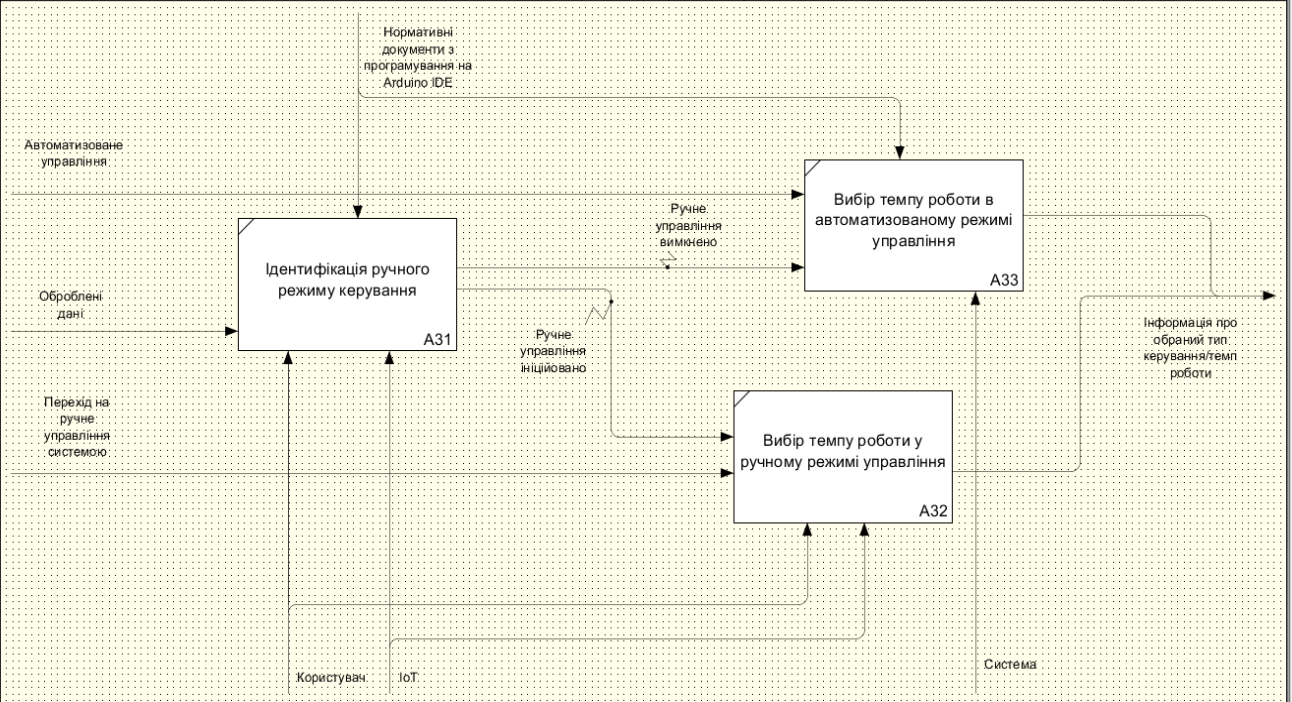
ДІАГРАМА ПРЕЦЕДЕНТІВ



КОНТЕКСТНА ДІАГРАМА ПРОЦЕСУ ПРИЗНАЧЕННЯ ДВИГУНУ ЗАДАНОГО ТЕМПУ РОБОТИ ТА РІВНІ ДЕКОМПОЗИЦІЇ

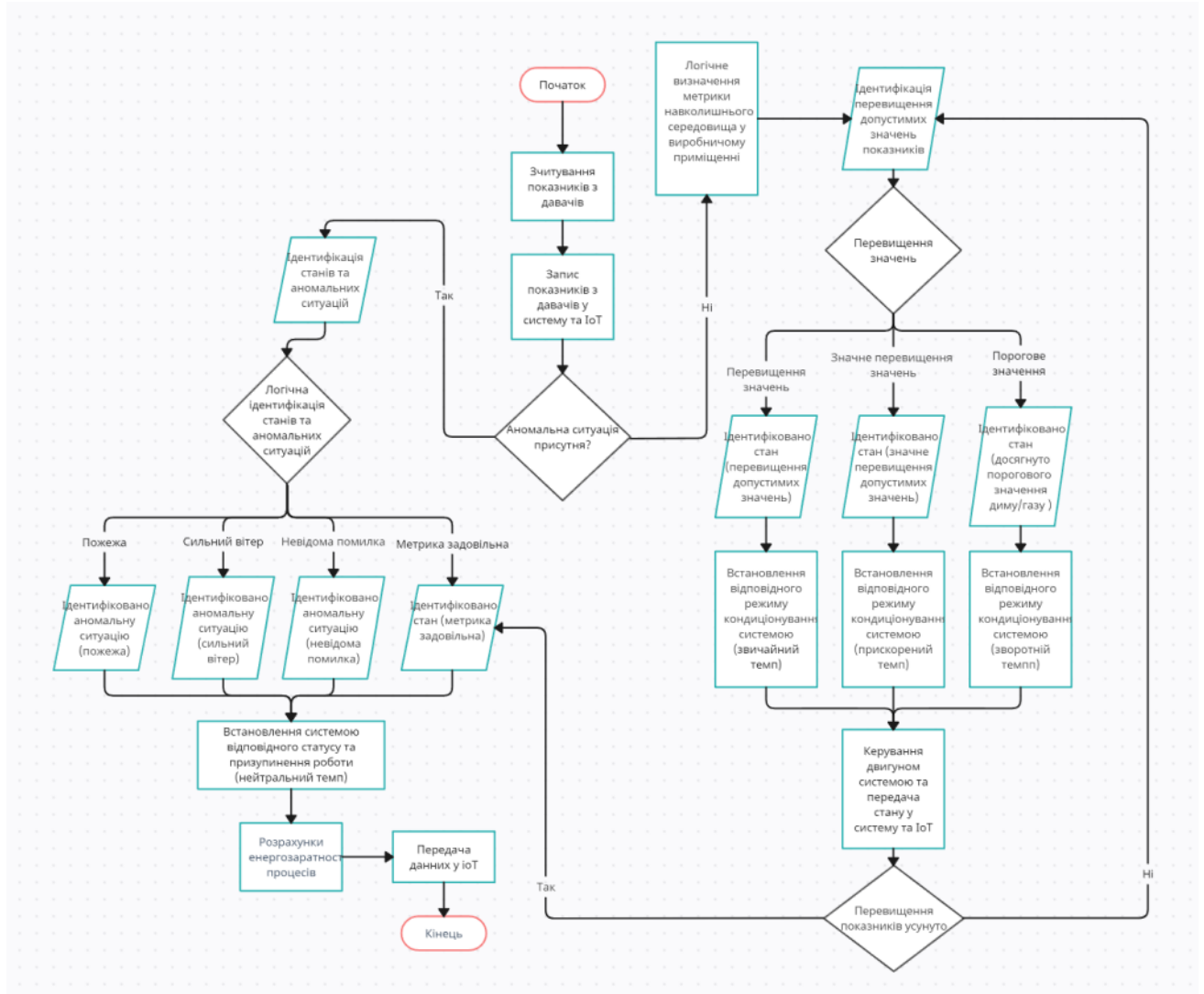


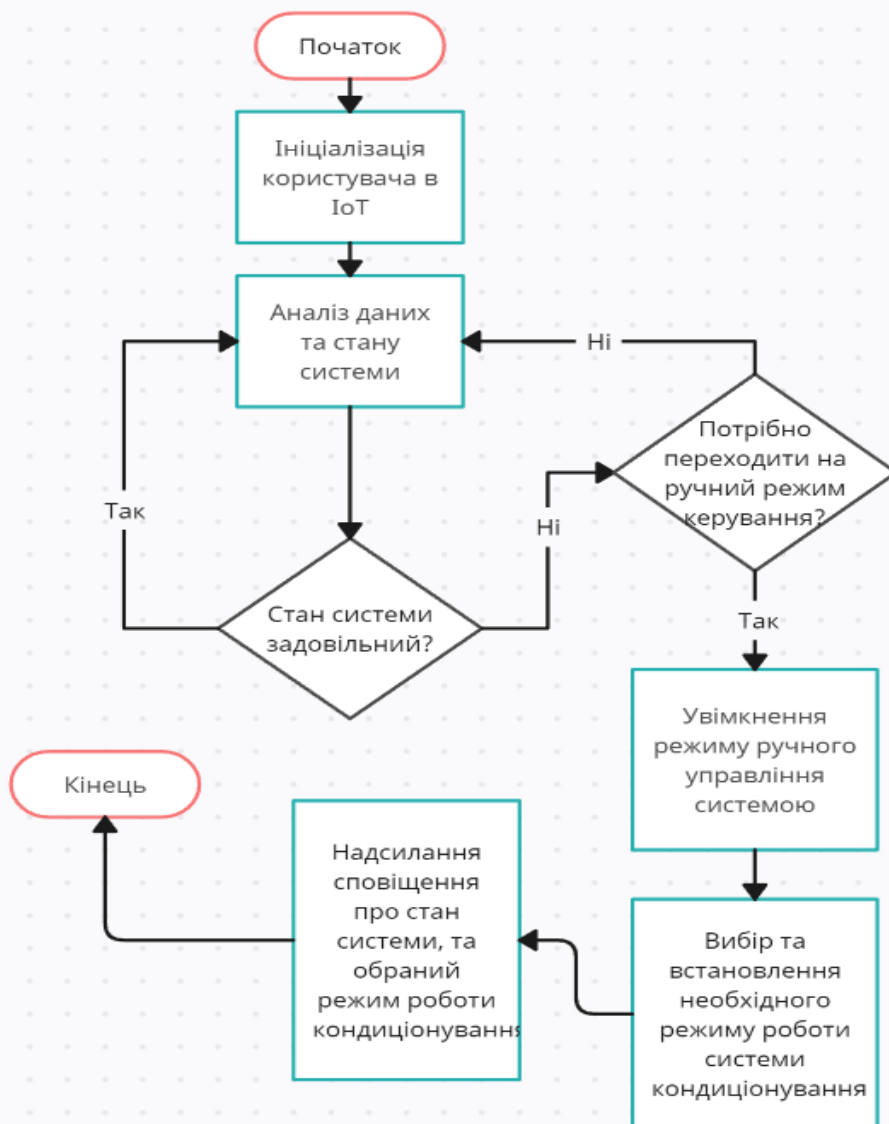
ВИКОРИСТОВУЄТЬСЯ В: Dyplom	АВТОР: Viacheslav Nyshcheta ПРОЕКТ: fan ЗАУВАЖЕННЯ: 1 2 3 4 5 6 7 8 9 10	ДАТА: 15.01.2024 РЕВІЗІЯ: 16.01.2024	РОЗРОБЛЯЄТЬСЯ ЧОРНОВИК РЕКОМЕНДОВАНО ПУБЛІКАЦІЯ	ЧИТАЧ	ДАТА	КОНТЕКСТ:
-------------------------------	--	---	--	-------	------	-----------



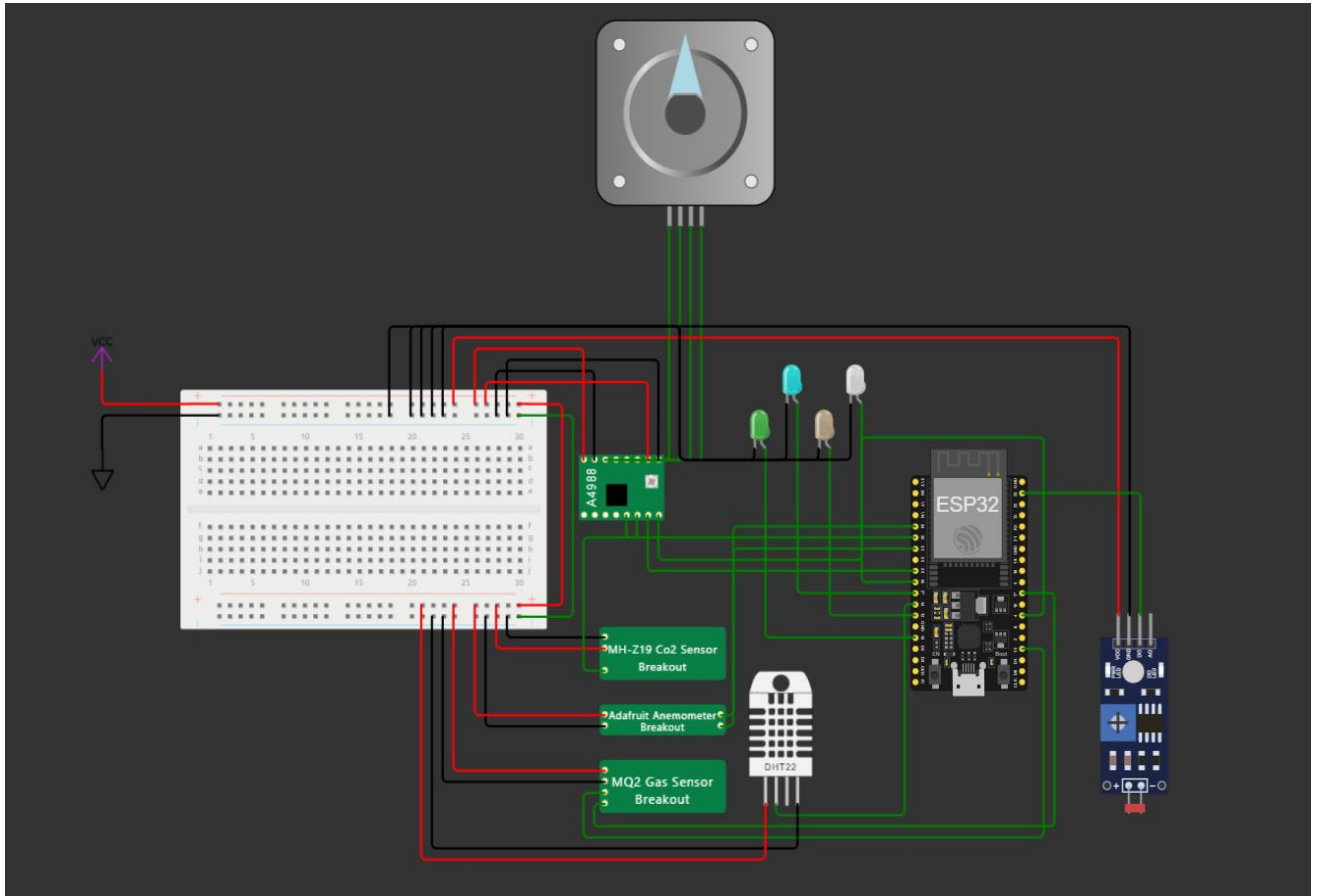
Гілка: A3	Назва: Перевірка ручного/автоматизованого режиму управління	Номер: 3
-----------	--	----------

АЛГОРИТМИ АВТОМАТИЗОВАНОЇ РОБОТИ ТА РУЧНОГО УПРАВЛІННЯ ІНТЕЛЕКТУАЛЬНОЇ СИСТЕМИ КЕРУВАННЯ КОНДИЦІОНУВАННЯМ

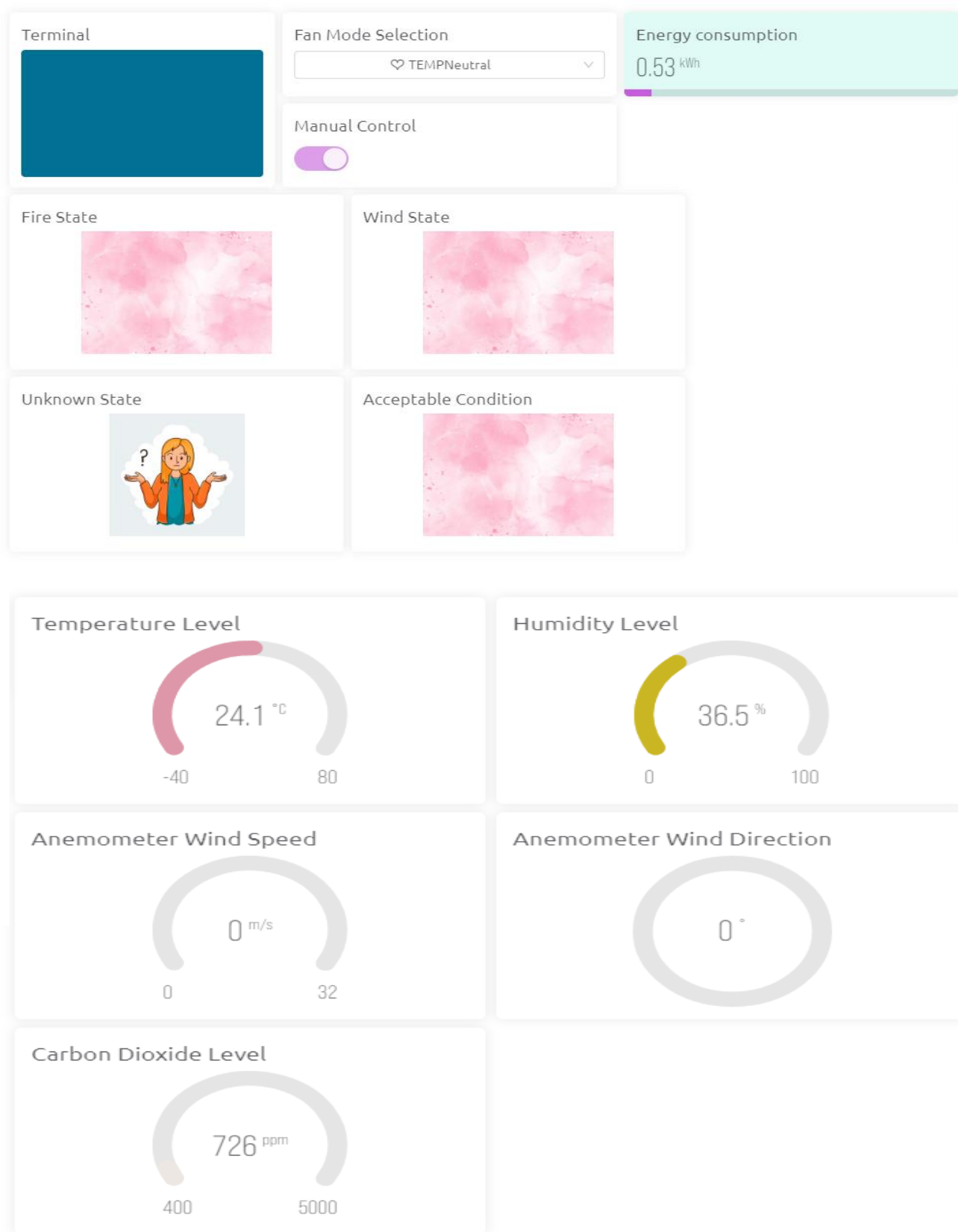




МОДЕЛЬ СИСТЕМИ У СЕРЕДОВИЩІ МОДЕЛЮВАННЯ WOKWI



ВІДОБРАЖЕННЯ ІНТЕРФЕЙСУ СИСТЕМИ У СЕРЕДОВИЩІ BLYNK НА ПК ТА У ДОДАТКУ ДЛЯ СМАРТФОНІВ



00:39



Home Automation



Terminal

```

DEVICE IN MANUAL CONTROL MODE
Fan State (Manual Control):
TempNeutral
Energy consumption for air
conditioning: 0.05 kW·h
DEVICE IN AUTOMATIC CONTROL MODE
Fan State: TempReversse
Energy consumption for air
conditioning: 0.05 kW·h
DEVICE IN MANUAL CONTROL MODE
Fan State (Manual Control):
TempNeutral

```

Temperature Level



Humidity Level



Manual Control



Fan Mode Selection

TEMPNeutral ▼

Anemometer Wind Speed



Anemometer Wind Direction



Carbon Dioxide Level



Fire State



Wind State



Unknown State



Acceptable Condition



МОДЕЛЬ СИСТЕМИ. ДВИГУН У РЕЖИМІ TEMP DRIVE ТА ВІДПОВІДНІ ВІДОБРАЖЕННЯ ДАНИХ У СИСТЕМІ BLYNK

The screenshot displays a Blynk web interface. At the top, there is a hardware schematic showing an ESP32 microcontroller connected to a stepper motor (375 steps), a breadboard, and three sensors: PNH-218 CO2, Anemometer, and MQ2 Gas. Below the schematic is a terminal window with the following text:

```
Fan State: TempUnknown  
Energy consumption for air conditioning: 0.37 kWh  
DEVICE IN AUTOMATIC CONTROL MODE  
Fan State: TempUnknown  
Energy consumption for air conditioning: 0.37 kWh  
DEVICE IN AUTOMATIC CONTROL MODE  
Fan State: TempDrive
```

The dashboard consists of several widgets:

- Terminal:** Displays the same text as the screenshot above.
- Fan Mode Selection:** A dropdown menu set to "TEMPSport".
- Manual Control:** A toggle switch currently turned off.
- Energy consumption:** A gauge showing 0.37 kWh.
- Temperature Level:** A gauge showing 21.9 °C on a scale from -40 to 80.
- Humidity Level:** A gauge showing 36.5% on a scale from 0 to 100.
- Fire State:** A visualization widget showing a red fire effect.
- Wind State:** A visualization widget showing a red fire effect.
- Anemometer Wind Speed:** A gauge showing 3 m/s on a scale from 0 to 32.
- Anemometer Wind Direction:** A circular gauge showing 274°.
- Unknown State:** A visualization widget showing a red fire effect.
- Acceptable Condition:** A visualization widget showing a red fire effect.
- Carbon Dioxide Level:** A gauge showing 808 ppm on a scale from 400 to 5000.

МОДЕЛЬ СИСТЕМИ. ІДЕНТИФІКАЦІЯ НАДЗВИЧАЙНИХ ПОДІЙ ТА ВИВЕДЕННЯ ВІДПОВІДНИХ ПОМИЛОК У BLYNK

Adafruit Anemometer
 wind-speed m/s: 8
 wind-direction deegree: 86

MQ2 Gas Sensor
 Smoke/Gas %: 66
 Clean air threshold %: 50

Photoresistor (LDR)
 ILLUMINATION (LUX): 6310 lux

Terminal
 Fan State: TempNeutral
 Energy consumption for air conditioning: 0.69 kWh
 DEVICE IN AUTOMATIC CONTROL MODE
 Fan State: TempNeutral
 Energy consumption for air conditioning: 0.69 kWh
 DEVICE IN AUTOMATIC CONTROL MODE
 Fan State: TempNeutral

Terminal
 Energy consumption for air conditioning: 0.69 kWh
 DEVICE IN AUTOMATIC CONTROL MODE
 Fan State: TempNeutral
 Energy consumption for air conditioning: 0.69 kWh
 DEVICE IN AUTOMATIC CONTROL MODE
 Fan State: TempNeutral

Fan Mode Selection
 TEMPSPORT

Manual Control

Energy consumption
 0.69 kWh

Temperature Level
 26.2 °C

Humidity Level
 36.5 %

Fire State

Wind State

Anemometer Wind Speed
 8 m/s

Anemometer Wind Direction
 86 °

Unknown State

Acceptable Condition

Carbon Dioxide Level
 808 ppm

ІНТЕРФЕЙС VLYNK У МОБІЛЬНОМУ ЗАСТОСУНКУ ТА МОДЕЛЬ СИСТЕМИ. РОБОТА В РЕЖИМІ РУЧНОГО УПРАВЛІННЯ

14:55

Home Automation

Terminal

```
Energy consumption for air conditioning: 0.69 kWh
DEVICE IN AUTOMATIC CONTROL MODE
Fan State: TempNeutral
Energy consumption for air conditioning: 0.69 kWh
DEVICE IN AUTOMATIC CONTROL MODE
Fan State: TempNeutral
Energy consumption for air conditioning: 2.28 kWh
DEVICE IN AUTOMATIC CONTROL MODE
Fan State: TempNeutral
```

Temperature Level: 47,4°C

Humidity Level: 36,5%

Manual Control: TEMPsport

Anemometer Wind Spe: 8 m/s


Anemometer Wind Dire: 86°

Carbon Dioxide Level: 808 ppm

Fire State: Unknown State

Wind State: Acceptable Condition

Відображення даних у Vlynk, після ідентифікації системою аномалій, що призвели до зупинки двигуна.



14:56

Home Automation

Terminal

```
Conditioning: 2.28 kWh
DEVICE IN AUTOMATIC CONTROL MODE
Fan State: TempNeutral
Energy consumption for air conditioning: 2.28 kWh
DEVICE IN AUTOMATIC CONTROL MODE
Fan State: TempNeutral
Energy consumption for air conditioning: 2.28 kWh
DEVICE IN MANUAL CONTROL MODE
Fan State (Manual Control): TempReverse
```

Temperature Level: 47,4°C

Humidity Level: 36,5%

Manual Control: TEMPReverse

Anemometer Wind Spe: 8 m/s


Anemometer Wind Dire: 86°

Carbon Dioxide Level: 808 ppm

Fire State: Unknown State

Wind State: Acceptable Condition

Відображення даних у Vlynk, після ініціалізації користувачем ручного режиму управління та вибору необхідного темпу роботи уондіціонування.



00:48.599 28%

```
Energy consumption for air conditioning: 2.28 kWh
DEVICE IN AUTOMATIC CONTROL MODE
Fan State: TempNeutral
Energy consumption for air conditioning: 2.28 kWh
DEVICE IN MANUAL CONTROL MODE
Fan State (Manual Control): TempReverse
Energy consumption for air conditioning: 2.28 kWh
```

ДОДАТОК В
АПРОБАЦІЯ РЕЗУЛЬТАТІВ

інших ресурсів для зменшення витрат і підвищення ефективності.

Збір та аналіз даних в реальному часі надає можливість приймати інформовані рішення та розробляти стратегії виробництва.

Переваги використання IoT в системах управління:

1. підвищення продуктивності: завдяки автоматизації та оптимізації процесів, IoT допомагає підвищити продуктивність виробництва;
2. зниження витрат: ефективне використання ресурсів, уникнення непередбачених збоїв та ремонтів дозволяють зменшити витрати;
3. покращення якості продукції: IoT допомагає виявляти і усувати проблеми на ранніх стадіях, що веде до покращення якості продукції;
4. збільшення безпеки: IoT включає системи моніторингу безпеки, що забезпечують безпеку працівників та обладнання;
5. вдосконалення аналізу та прийняття рішень: Збір та аналіз даних допомагає управлінцям [3].

III. ІНТЕГРАЦІЯ ARDUINO В СИСТЕМУ

Платформа Arduino грає важливу роль у системі керування кондиціонуванням завдяки своїм можливостям програмування та гнучкості [4].

Arduino може використовувати різноманітні сенсори, такі як температурні сенсори або сенсори вологості, для збору інформації про об'єктивні умови, а також виконує обробку зібраних даних для визначення поточних умов в приміщенні, таких як температура та вологість.

На основі аналізу даних приймається рішення щодо управління кондиціонуванням, наприклад, включає або вимикає кондиціонер для досягнення заданих параметрів.

Arduino може взаємодіяти з кондиціонером та іншими пристроями за допомогою реле, інфрачервоних передавачів або інших засобів комунікації.

Arduino може передавати інформацію про стан системи на інші пристрої або зберігати її для подальшого аналізу і контролю.

Опис сенсорів та пристроїв, що використовуються з Arduino:

1. температурні сенсори: наприклад, сенсори температури LM35 або DHT11 призначені для вимірювання температури в приміщенні;
2. сенсори вологості: до них відносяться сенсори вологості, такі як DHT11 або DHT22, які вимірюють вологість повітря;
3. сенсори руху: сенсори руху, такі як PIR-датчики, виявляють присутність людей у приміщенні;
4. датчики CO₂: датчики CO₂ вимірюють рівень вуглекислого газу в повітрі, що дає змогу визначати якість повітря;
5. інфрачервоні передавачі: їх можна використовувати для керування кондиціонером та іншими побутовими пристроями;
6. дисплеї: Arduino може бути підключена до LCD-дисплею або інших типів екранів для відображення інформації;

7. модулі комунікації: Arduino може взаємодіяти з іншими пристроями через Wi-Fi, Bluetooth або Інтернет.

Ці сенсори та пристрої спільно з Arduino допомагають збирати дані та керувати системою кондиціонування для забезпечення комфортних умов у приміщенні та раціонального споживання енергії [5].

IV. МАТЕМАТИЧНА МОДЕЛЬ СИСТЕМИ

Для прикладу розглянемо спрощену математичну модель, системи керування кондиціонуванням виробничого приміщення, яка враховує температурні умови в приміщенні [6].

Модель розрахунку витрат енергії на кондиціонування може бути виражена наступним рівнянням 1:

$$E = \frac{m \cdot (T_i - T_o)}{R \cdot C} \quad (1)$$

де: E – витрати енергії на кондиціонування (у ватах або кіловатах).

m – маса повітря, яке потрібно охолодити (у кількості кілограмів або літрах).

T_i – початкова температура повітря в приміщенні (у градусах Цельсія).

T_o – бажана температура в приміщенні (у градусах Цельсія).

R – коефіцієнт теплопровідності матеріалів ізоляції та стін (у ваттах на метр на градус Цельсія).

C – теплоємність повітря (у джоулях на кількість теплоносія).

Ця модель дозволяє розрахувати, скільки енергії буде витрачено на охолодження повітря виробничого приміщення з початковою температурою T_i до бажаної температури T_o, враховуючи теплоізоляцію і теплоємність повітря.

Розглянемо деякі можливості розширення математичної моделі, додавши до неї додаткові фактори та параметри, які впливають на роботу системи кондиціонування:

1. врахування кількості працівників: додавання параметру, який враховує кількість працівників в приміщенні, може бути корисним. чим більше людей працює в приміщенні, тим більше тепла вони виробляють, що може впливати на навантаження системи кондиціонування;
 2. зовнішні умови: врахування зовнішніх температурних та вологості умов може покращити точність моделі. Зміни в погоді можуть впливати на теплообмін через вікна і стіни;
 3. інші джерела навантаження: при використанні виробничого приміщення можуть бути інші джерела тепла, такі як обладнання, освітлення та інше. Ці джерела також можуть бути враховані в моделі;
 4. динамічні зміни в часі: модель може бути розширена для врахування динамічних змін у витратах енергії протягом дня. Наприклад, витрати можуть змінюватися в залежності від часу доби або робочого графіку;
- інтеграція даних з IoT-датчиків: якщо в вашій

1. системі використовуються датчики IoT, вони можуть надавати реальний час інформацію про температуру, вологість та інші параметри, які можуть бути використані для точніших розрахунків;

2. енергоефективність системи кондиціонування: врахування коефіцієнта ефективності вашої системи кондиціонування дозволить оцінити, наскільки ефективно вона використовує енергію;

3. адаптація до режимів роботи: модель може враховувати різні режими роботи системи кондиціонування, такі як режим охолодження, обігріву, вентиляції тощо.

Розширена математична модель може бути корисною для більш точних розрахунків витрат енергії та оптимізації роботи системи кондиціонування в залежності від різноманітних умов [7].

V. ВИСНОВКИ

Метою роботи є розроблення системи інтелектуального керування кондиціонуванням виробничого приміщення з використанням технології IoT.

У даній роботі було представлено результати досліджень і розробки системи інтелектуального керування кондиціонуванням виробничого приміщення, в основі якої лежать технологія Internet of Things (IoT) та інтеграція платформи Arduino. Створено систему, яка дозволяє зменшити витрати енергії та сприяє екологічно чистому виробничому процесу.

У підсумку було отримано наступні ключові результати та висновки:

1. актуальність та важливість теми: зростаюча конкуренція та зміни в кліматичних умовах потребують нових підходів до управління кондиціонуванням виробничих приміщень. Ефективне та інтелектуальне керування стає обов'язковим для підтримання оптимальних умов роботи та збільшення продуктивності [8];

2. використання технології IoT: IoT виявляється потужним інструментом для збору та обробки даних з сенсорів у реальному часі. Вона дозволяє використовувати ці дані для прийняття найкращих управлінських рішень, забезпечуючи комфорт та ефективність;

3. інтеграція Arduino: платформа Arduino стала центральною фігурою в нашій системі, забезпечуючи зчитування даних з різних сенсорів та керування обладнанням. Це відкриває нові можливості для розробки інтелектуальних алгоритмів та оптимізації роботи кондиціонування;

4. математична модель: ми розробили математичну модель, яка дозволяє прогнозувати параметри кондиціонування на основі зібраних даних та динамічних характеристик системи. Ця модель спрощує прийняття рішень та підвищує точність управління.

За підсумками нашої роботи, ми впевнені, що використання технології IoT та платформи Arduino, разом із нашою математичною моделлю, може значно покращити управління кондиціонуванням у виробничих

приміщеннях. Ця система може бути важливим кроком до створення більш ефективного та екологічно чистого виробничого середовища.

Розроблена система інтелектуального керування кондиціонуванням з використанням технології IoT відкриває широкі можливості для покращення умов у виробництві, зменшення енерговитрат і підвищення продуктивності. Практична направленість пов'язана з можливістю впровадження для створення більш стійких та ефективних виробничих середовищ.

ПЕРЕЛІК ПОСИЛАНЬ

[1] Інтелектуальні системи управління: Експертні системи – основи проектування та застосування в системах автоматизації [Електронний ресурс] : навч. посіб. для студ. спеціальності 151 «Автоматизація та комп'ютерно-інтегровані технології» / КПІ ім. Ігоря Сікорського; уклад.: Л. Д. Ярошук. – Електронні текстові дані (1 файл: 2,56 Мбайт). – Київ : КПІ ім. Ігоря Сікорського, 2019. – 136с.

[2] Економіка галузевих ринків: Навчально-методичний комплекс для студентів спеціальності «051 Економіка», освітніх програм «Економіка та економічна політика», «Економіка та право», «Економіка підприємства» / Упорядники Ігнатюк А.І., Колоша В.В., Коваленко О.Я.– К., 2018. – 44 с.

[3] Технології інтернету речей. Навчальний посібник [Електронний ресурс]: навч. посіб. для студ. спеціальності 126 «Інформаційні системи та технології», спеціалізація «Інформаційне забезпечення робототехнічних систем» / Б. Ю. Жураковський, І.О. Зенів; КПІ ім. Ігоря Сікорського. – Електронні текстові дані (1 файл: 12,5 Мбайт). – Київ: КПІ ім. Ігоря Сікорського, 2021. – 271 с.

[4] I. Perenc, T. Jaworski, and P. Duch, "Teaching programming using dedicated Arduino educational board," *Comput. Appl. Eng. Educ.*, vol. 27, no. 4, pp. 943–954, Jul. 2019.

[5] P. Duch and T. Jaworski, "Enriching computer science programming classes with Arduino game development," in *Proc. 11th Int. Conf. Hum. Syst. Interact. (HSI)*, Jul. 2018, pp. 148–154.

[6] Математичні моделі та новітні технології управління Конспект лекцій дисципліни «Математичне моделювання» для студентів спеціальності 151 «Автоматизація та комп'ютерно-інтегровані технології»/ Упоряд. В.В. Безкоровайний. – Харків: ХНУРЕ, 2018. – 120 с.

[7] В. В. Лимаренко, "Інформаційна система підтримки рішень для автоматизації створення технологічних процесів механообробки деталей високоточного обладнання", дис.. канд. техн. наук, Нац. техн. ун-т "ХПІ", Харків, 2019.

[8] Зміна клімату: наслідки та заходи адаптації: аналіт. доповідь / [С.П. Іванюта, О. О. Коломієць, О. А. Малиновська, Л. М. Якушенко]; за ред. С. П. Іванюти. – К. : НІСД, 2020. – 110 с.

